

CONTROLE DE VIBRAÇÕES CAÓTICAS DE UM PÊNDULO EXCITADO

N. J. PERUZZI

Faculdade de Engenharia Mecânica, Departamento de Projeto Mecânico, C P 6122, 13083-970, UNICAMP, Campinas, SP, Brasil. E-mail: piru@saoluis.br

J. M. BALTHAZAR

Departamento de Estatística, Matemática Aplicada e Computação, Instituto de Geociências e Ciências Exatas, UNESP, Rio Claro-SP, Po Box, 178, 13500-230. Rio Claro-SP, Brasil e Professor visitante do Departamento de Projeto Mecânico, UNICAMP, Campinas-SP.

E-mail: jmbaltha@rc.unesp.br

1. RESUMO

Neste trabalho, determinamos as regiões de estabilidade/instabilidade de um pêndulo simples com excitação vertical do suporte em termos da freqüência natural e amplitude de excitação. A análise da estabilidade está baseada nos multiplicadores de Floquet, que foram obtidos a partir da expansão polinomial de Chebyshev e na iteração de Picard. A aplicação da transformação L-F ao sistema reduz a parte linear à forma invariante no tempo, tornando-o mais conveniente para simplificações obtidas a partir da aplicação da redução à Variedade Central e à teoria da Forma Normal. A equação do pêndulo pode, então, ser reduzida a uma forma completamente invariante do tempo e sua solução calculada na forma fechada. A análise da dinâmica da solução na forma fechada, no ponto de bifurcação, é equivalente ao da dinâmica sistema original.

2. PALAVRAS-CHAVE

Transformação Lyapunov-Floquet; Polinômio de Chebyshev; iteração de Picard; Forma Normal; Variedade Central.

3. INTRODUÇÃO

Muitos problemas de engenharia têm sido modelados por equações diferenciais não-lineares com coeficientes periódicos no tempo cujas dinâmicas, em geral, têm comportamentos imprevisíveis e muito complexos quando atuam dentro de certas faixas de operação.

Por outro lado, é conhecido que, às vezes, a performance da dinâmica de um sistema pode ser consideravelmente melhorada quando os parâmetros do sistema o levam a operar numa vizinhança da fronteira de estabilidade. Porém, deve haver a garantia de que, para pequenas vibrações, se a fronteira de estabilidade for rompida, o sistema não perderá a estabilidade de maneira catastrófica. Portanto, a solução do sistema dinâmico e a respectiva análise de estabilidade são questões fundamentais para que haja bom desempenho de um projeto.

A análise da estabilidade pode ser feita através dos autovalores da Matriz de Transição de Estado (States Transformation Matrix - STM) calculada no final do período principal. Porém, a obtenção da STM, na maioria dos casos, não é uma tarefa trivial.

Recentemente [9;13], foi desenvolvida uma técnica relativamente simples, porém eficiente para a obtenção da STM, empregando a expansão polinomial de Chebyshev e a iteração de Picard. Além disso, a matriz STM pode ser fatorada como produto de duas matrizes, cujos fatores representam a

amplitude - $\phi(t)$ e o decaimento - e^{Rt} do sistema. A matriz $\phi(t)$ é conhecida como matriz de transformação L-F, cuja aplicação ao sistema com coeficientes periódicos irá reduzir a parte linear T-periódica desse sistema a uma forma equivalente, que é invariante no tempo. A vantagem do sistema invariante no tempo é que este se torna mais conveniente, por exemplo, para a aplicação da redução à Variedade Central e à teoria da Forma Normal.

Em recentes estudos, Sinha [7-14] desenvolveu um método analítico que não é restrito a pequenos parâmetros e é muito preciso na predição do ponto de bifurcação bem como na dinâmica pós-bifurcação. Nesses estudos, mostrou-se que, para sistemas de co-dimensão de bifurcação 1, é sempre possível construir formas invariantes no tempo equivalentes às equações periódicas no tempo, tal que as características de bifurcação e estabilidade são completamente preservadas.

Nesse trabalho, consideramos a aplicação do método S-W para um pêndulo excitado estudado anteriormente em [9], sendo organizado como segue: na seção 4, nós apresentamos os principais resultados utilizados pelo método de S-W. Na seção 5, discute-se o modelo matemático para o sistema com vibração aqui usado e a análise de estabilidade do sistema original. Ainda, aplicou-se a redução da dinâmica do sistema a sua forma normal invariante no tempo, e, finalmente, na seção 6, concluiu-se com breves observações.

4. MATRIZ FUNDAMENTAL VIA MÉTODO S-W

Considere um sistema dinâmico não-linear com coeficientes T -periódicos no tempo dado descrito pela equação diferencial:

$$\dot{x} = f(x, \alpha, t), \quad (1)$$

onde $x \in \mathbb{R}^n$, $f(x, \alpha, t+T) = f(x, \alpha, t)$ é uma função não-linear T -periódica no tempo e $\alpha \in \mathbb{R}^m$, ($m \leq n$) contém os parâmetros do sistema.

Assumindo que $x = 0$ é um ponto de equilíbrio, o sistema (1) pode ser expandido em série de Taylor em torno deste ponto e transformado na forma de espaço-estado, assumindo a forma:

$$\dot{x} = A(t)x + F(x, \alpha, t), \quad (2)$$

onde $A(t)$ é uma matriz $n \times n$ dos coeficientes periódicos do termo linear e $F(\cdot)$ é um vetor com os termos não-lineares.

A estabilidade/inestabilidade de (2) pode ser verificada através dos autovalores μ (chamados multiplicadores de Floquet) da Matriz de Transição de Floquet, isto é, da matriz de transição de estados calculada no final do período principal T . Uma aproximação para a matriz de transição de estados foi proposta em [13], podendo ser obtida via polinômio de Chebyshev e o método iterativo de Picard, através da expressão:

$$\phi^{(gr_{cheb}, it_{pic})}(t) = \hat{T}^T [\hat{I} + (\sum_{i=1}^{it_{pic}} [L]^{i-1})P] , \quad (3)$$

onde gr_{cheb} é grau do polinômio de Chebyshev alterado de primeiro tipo, it_{pic} o número da iteração de Picard e as matrizes do segundo membro de (3) estão definidas no apêndice.

Cada um dos multiplicadores de Floquet fornece uma medida da convergência/divergência local da órbita ao longo de uma direção particular sobre o período T da solução periódica.

A matriz $\phi(\cdot)$ pode ser reescrita na forma fatorada como $\phi(t) = Q(t)e^{Rt}$, onde se observa que a matriz $Q(t)$ indica as oscilações, e a matriz R , o decaimento exponencial da solução periódica.

5. Análise da Estabilidade Estrutural do Pêndulo Excitado Parametricamente

Considere o sistema com um grau de liberdade consistindo em um pêndulo simples forçado parametricamente mostrado a seguir.

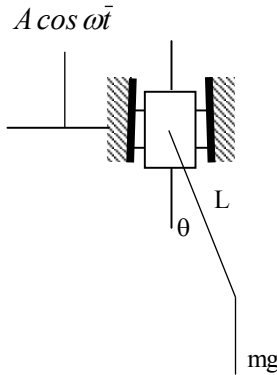


Figura 1: Pêndulo com suporte excitado parametricamente

Este problema, cujo pêndulo é livre para oscilar ou girar num plano, cujo pivô é verticalmente conduzido por uma força periódica, foi estudado por Bishop e Clifford [1996] pela equação:

$$\ddot{\theta} = -\beta \dot{\theta} - (1 - p \cos(\omega t)) \sin \theta, \quad (4)$$

onde θ é a medida do deslocamento angular, $p \cos(\omega t)$ força externa aplicada ao pivô, com p e ω amplitude e freqüência, e β é o coeficiente de amortecimento.

Expandindo a função $\sin \theta$ em série de Taylor até a terceira ordem, em torno da origem, e transformando a equação (4) na forma espaço-estado, de modo que $x_1 = \theta$, $x_2 = \dot{\theta}$, temos:

$$\begin{pmatrix} \dot{x}_1 \\ \dot{x}_2 \end{pmatrix} = \begin{bmatrix} 0 & 1 \\ -(1 + p \cos(\omega t)) & -\beta \end{bmatrix} \begin{pmatrix} x_1 \\ x_2 \end{pmatrix} + \begin{pmatrix} 0 \\ (1 + p \cos(\omega t)) / 6 \end{pmatrix} x_1^3 \quad (5)$$

Análise da Estabilidade Estrutural

Para analisar a estabilidade estrutural do sistema com vibração paramétrico, basta considerar somente a parte linear do sistema (5), isto é:

$$\begin{pmatrix} \dot{x}_1 \\ \dot{x}_2 \end{pmatrix} = \begin{bmatrix} 0 & 1 \\ -(1 + p \cos(\omega t)) & -\beta \end{bmatrix} \begin{pmatrix} x_1 \\ x_2 \end{pmatrix} \quad (6)$$

A estabilidade do sistema linearizado (6) é analisada pelos autovalores μ da Matriz de Transição de Floquet, a qual pode ser obtida calculando os autovalores da Matriz de Transição de Estados (3) para $t = \frac{2\pi}{\omega}$, ou seja, $\Phi(T)$, onde T é o período fundamental do sistema.

No espaço de parâmetros $p - \omega$, pode-se obter o diagrama de estabilidade, isto é, varia-se os parâmetros p e ω de modo obter $|\mu| = 1$. Para obter o diagrama de estabilidade, foi usado o polinômio de Chebyshev alterado de 1^0 tipo de grau $gr_{cheb} = 20$ e o número de iterações de Picard $it_{pic} = 40$. Consideramos os parâmetros p e ω nos intervalos $0 < p < 3$ e $0.5 < \omega < 3$, respectivamente, e $\beta = 0.1$, obtendo:

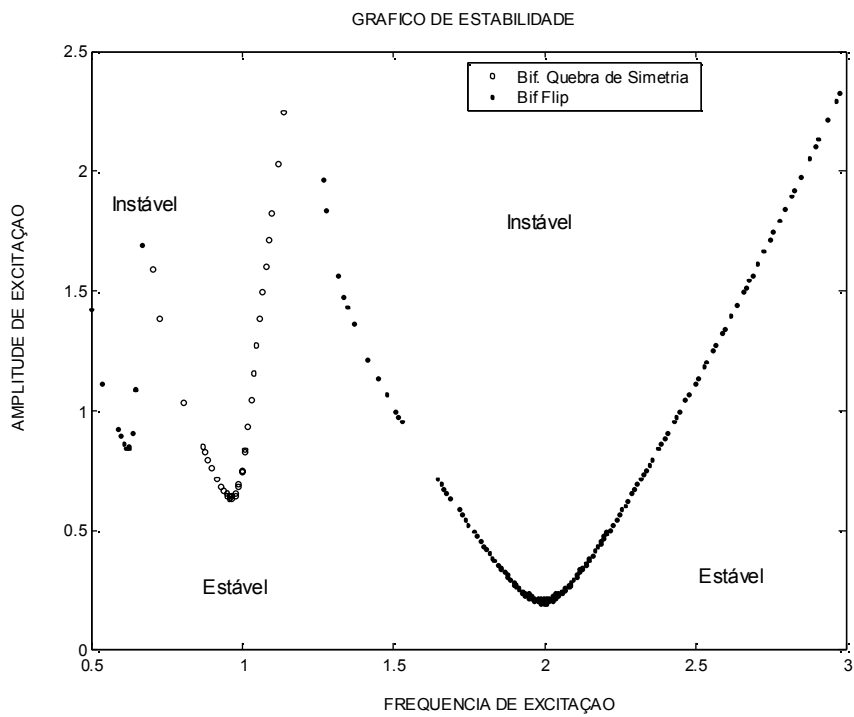


Figura 2 – Gráfico de estabilidade para $0 < p < 3$ e $0.5 < \omega < 3$

Observam-se no gráfico, dois tipos de fronteiras que determinam mudança qualitativa na dinâmica do sistema, isto é: a bifurcação por quebra de simetria e a bifurcação com duplicação do período (flip). O diagrama de bifurcação mostrado na Figura 3 foi obtido fixando a amplitude $p = 2$ e variando a freqüência de excitação $0.5 \leq \omega \leq 3$.

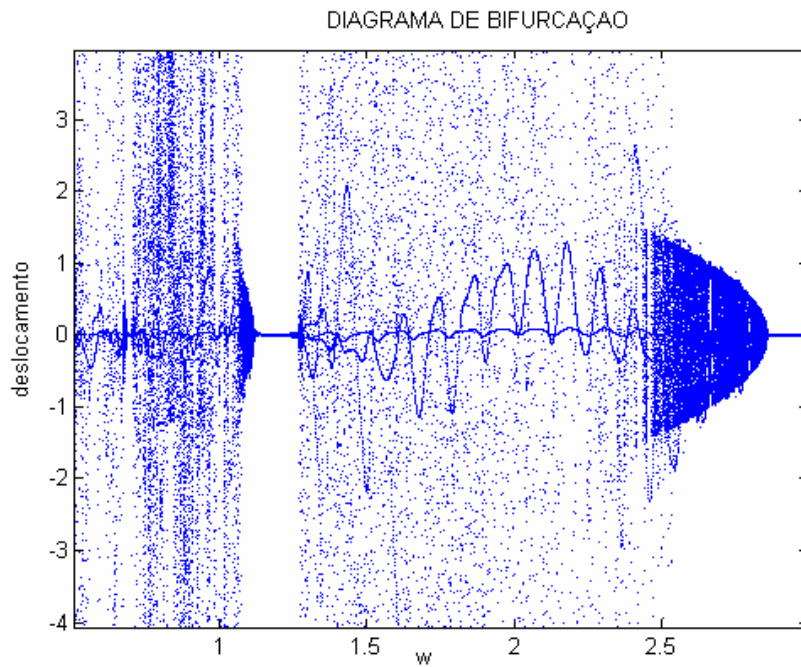


Figura 3: Diagrama de Bifurcação para $p = 2$ e $0.5 < \omega < 3$

Na região $2 < \omega < 3$ (Figura 4), observa-se o valor crítico $\omega_c = 2.86142$. Para esta freqüência, temos a bifurcação com duplicação de período, isto é, $\mu_c = -1$.

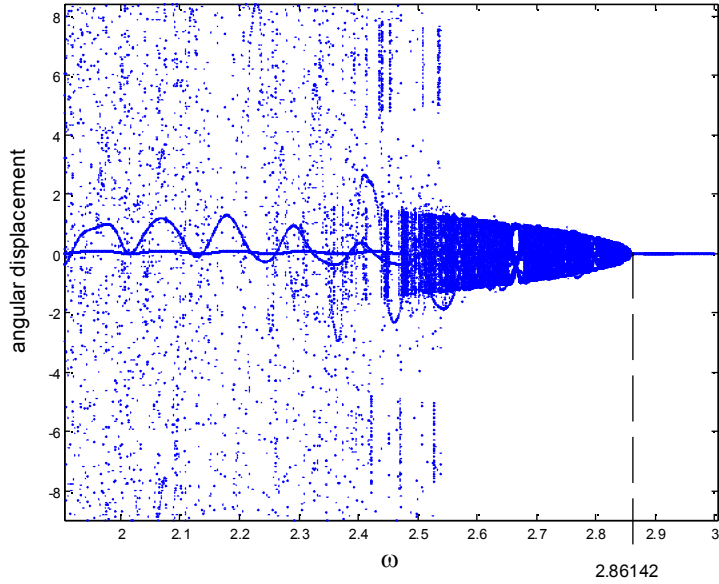


Figura 4: Refinamento do Diagrama de Bifurcação para $2 < \omega < 3$

ANÁLISE DA ESTABILIDADE NO PONTO DE BIFURCAÇÃO

Para a análise da dinâmica do sistema, é conveniente obter uma estimativa quantitativa das soluções no ponto de bifurcação, bem como numa vizinhança desse ponto. Com esse fim, vamos analisar a estabilidade do sistema (5) para o parâmetro crítico $\omega_c = 2.86142$ onde ocorre uma bifurcação flip.

Inicialmente, vamos fatorar a Matriz de Transição de Estados como $\Phi(t) = Q(t)e^{Rt}$, onde:

$$Q(t) = \begin{bmatrix} Q_{11}(t) & Q_{12}(t) \\ Q_{21}(t) & Q_{22}(t) \end{bmatrix}, \quad (7)$$

de modo que a transformação de L-F $\begin{pmatrix} x_1 \\ x_2 \end{pmatrix} = Q(t) \begin{pmatrix} y_1 \\ y_2 \end{pmatrix}$ transforma a parte linear do sistema (5) na forma invariante no tempo:

$$\begin{pmatrix} \dot{y}_1 \\ \dot{y}_2 \end{pmatrix} = \begin{bmatrix} R_{11} & R_{12} \\ R_{21} & R_{22} \end{bmatrix} \begin{pmatrix} y_1 \\ y_2 \end{pmatrix} + Q^{-1}(t) \left(\frac{(1 + p \cos(\omega t))}{6} (Q_{11}(t)y_1 + Q_{12}(t)y_2)^3 \right). \quad (8)$$

Aplicando a Transformação Modal $\begin{pmatrix} y_1 \\ y_2 \end{pmatrix} = M \begin{pmatrix} z_1 \\ z_2 \end{pmatrix}$ na equação (8), obtemos a equação na Forma de Jordan:

$$\begin{pmatrix} \dot{z}_1 \\ \dot{z}_2 \end{pmatrix} = \begin{bmatrix} \lambda_1 & 0 \\ 0 & \lambda_2 \end{bmatrix} \begin{pmatrix} z_1 \\ z_2 \end{pmatrix} + M^{-1} Q^{-1}(t) \begin{pmatrix} 0 \\ \frac{(1+p \cos(\omega t))}{6} [Q_{11}(t)(M_{11}z_1 + M_{12}z_2) + Q_{12}(t)(M_{21}z_1 + M_{22}z_2)^3] \end{pmatrix} \quad (9)$$

onde M_{ij} são as entradas da Matriz M, λ_1 e λ_2 correspondentes aos multiplicadores de Floquet crítico e estável, respectivamente. Como consequência dessa correspondência, vemos que $\lambda_1 = 0$.

Efetuando os produtos e desenvolvendo os termos de ordem cúbica, temos:

$$\begin{pmatrix} \dot{z}_1 \\ \dot{z}_2 \end{pmatrix} = \begin{bmatrix} 0 & 0 \\ 0 & \lambda_2 \end{bmatrix} \begin{pmatrix} z_1 \\ z_2 \end{pmatrix} + \begin{pmatrix} f_{11}(t)z_1^3 + f_{12}(t)z_1^2z_2 + f_{13}(t)z_1z_2^2 + f_{14}(t)z_2^3 \\ f_{21}(t)z_1^3 + f_{22}(t)z_1^2z_2 + f_{23}(t)z_1z_2^2 + f_{24}(t)z_2^3 \end{pmatrix}, \quad (10)$$

onde os $f_{ij}(t)$ são funções 2T-periódicas pois a matriz da transformação L-F $Q(t)$ também é 2T-periódica. Logo, tais funções podem ser calculadas em série de Fourier:

$$f_{ij}(t) = a_0^{ij} + \sum_{n=1}^{\ell} a_n^{ij} \cos(n\pi t) + \sum_{n=1}^{\ell} b_n^{ij} \sin(n\pi t) \quad (11)$$

Pela teoria da Variedade Central, existe uma transformação não-linear com coeficientes periódicos da forma cúbica:

$$z_2 = H(z_1, t) = h_3(t)z_1^3, \quad (12)$$

onde $h_3(t) = \sum_{v=-\infty}^{\infty} h_v e^{iv\pi t} z_1^3$ e $h_v = \frac{a_v}{iv\pi}$, com a_v sendo os coeficientes de Fourier da função periódica contendo os monômios de z_1 com ordem 3.

A equação reduzida à Variedade Central tem a forma:

$$\dot{z}_1 = w(t)z_1^3, \quad (13)$$

A teoria da Forma Normal garante que existe uma transformação:

$$z_1 = v + \bar{h}_3(v, t), \quad (14)$$

onde

$$h_3(v, t) = \sum_{v=-q}^q h_v e^{iv\pi t} v^3 \text{ e } h_v = \frac{a_v}{iv\pi} \quad (15)$$

transforma o sistema de co-dimensão de bifurcação 1 num sistema completamente invariante no tempo [14].

De fato, é óbvio que a condição de redutibilidade de (15) é $v \neq 0$, isto é, o sistema pode ser reduzido a sua forma linear se $v=0$. Como na equação (14) só temos o termo não-linear, a condição de ressonância $v=0$ corresponde ao termo constante no tempo da expansão em série de Fourier desta função, isto é, $h_3(v, t) = \sum_{v=-q}^q a_0 v^3$.

Portanto, a redução à Forma Normal resultará numa equação independente do tempo com a forma:

$$\dot{v} = wv^3 \quad (16)$$

Para os parâmetros $p = 2$ e $\omega_c = 2.86142$, obtemos a forma de Jordan:

$$\begin{pmatrix} \dot{z}_1 \\ \dot{z}_2 \end{pmatrix} = \begin{bmatrix} 0 & 0 \\ 0 & -0.2196 \end{bmatrix} \begin{pmatrix} z_1 \\ z_2 \end{pmatrix} + \begin{pmatrix} f_{11}(t)z_1^3 + f_{12}(t)z_1^2z_2 + f_{13}(t)z_1z_2^2 + f_{14}(t)z_2^3 \\ f_{21}(t)z_1^3 + f_{22}(t)z_1^2z_2 + f_{23}(t)z_2z_2^2 + f_{24}(t)z_2^3 \end{pmatrix} \quad (17)$$

Aplicando as reduções à Variedade Central e à Forma Normal, obtemos o sistema invariante no tempo:

$$\dot{v} = -23.0232v \quad (18)$$

A solução da equação (18) pode ser obtida facilmente na forma fechada como:

$$v(t) = \pm 0.14736t^{-0.5} \quad (19)$$

Logo, pode-se concluir que o sistema é assintoticamente estável no ponto crítico $\omega_c = 2.86142$.

5. CONCLUSÕES

O pêndulo livre a oscilar ou a girar em um plano cujo pivô é excitado verticalmente por uma força periódica, é analisado. Para isso, foi construído o diagrama de estabilidade/instabilidade onde se observaram as regiões de fronteira com a bifurcação flip e a bifurcação por quebra de simetria. Para um valor do conjunto de parâmetro $p=2$ e $\omega_c = 2.86142$ (bifurcação flip), analisou-se a estabilidade neste ponto de bifurcação, reduzindo-se o sistema a uma forma invariante no tempo, cuja solução na forma fechada é facilmente calculada. A análise de estabilidade do pêndulo no ponto de bifurcação pode ser realizada.

6. Agradecimentos

Os autores agradecem o CNPq e FAPESP, pela realização deste trabalho.

7. REFERÊNCIAS

1. Bishop, S.R., Clifford, M.J. "Zones of Chaotic Behavior in the Parametric Excited Pendulum". *Journal of Sound and Vibration*, 189(1), p142-47, 1996.
2. Nayfeh, A H, Balachandran, B. "Applied Nonlinear Dynamics", Wiley, 1994
3. Sinha, S.C., Henrichs, J.T., Ravindra, B. "A general approach in the design of active controllers for Nonlinear Systems Exhibiting Chaos". *Int. Journal of Bifurcation and Chaos*, 10(1), n. 1, (2000) p. 165-178.
4. Bishop, S.C., M.J. Clifford. "Stabilizing the Parametric Excited Pendulum Onto High Order Periodic Orbits". *Journal of Sound and Vibration*, 194(2), p287-93, 1996.
5. Sinha, S.C., Dávid, A."Control of Chaos in Nonlinear Systems with Time-Periodic Coefficients". American Control Conference, p. 764-768, June 2000.
6. Sinha, S.C., Dávid, A. "Versal Deformation and Local Bifurcation Analysis of Time-Periodic Nonlinear Systems". *Nonlinear Dynamics*, 21, p. 317-336, 2000.
7. Sinha, S.C., Wu, Der-Ho, "An Efficient Computational Scheme for the Analysis of Periodic Systems". *Journal of Sound and Vibration*, 151(1), p. 91-117, 1991.

8. Sinha, S.C. Wu, Der-Ho, Juneja, V. Joseph, P. "Analysis of Dynamic Systems with Periodically Varying Parameters via Chebyshev Polynomials". Journal of Vibration and Acoustics, vol. 115, p. 96-102, Jan. 1993.
9. Sinha, S.C., Joseph, P. "Control of General Dynamic Systems with Periodically Varying Parameters Via Lyapunov-Floquet Transformation". Journal of Dynamic, Measurement, and Control, v.116, p.650-658, 1994.
10. Sinha, S.C., Pandiyan,R., Bibb, P.S. "Lyapunov-Floquet Transformation:Computations and Applications to Periodic Systems". Journal of Vibration and Acoustics. 118, p. 209-219, 1996.
11. Sinha, S.C., Butcher, E.A. "Symbolic Computation of Fundamental Solution Matrices for Linear Time-Periodic Dynamical Systems". Journal of Sound and Vibration, 206(1), p61-85, 1997.
12. Sinha, S.C., Butcher, E.A. "Construction of Dynamically Equivalent Time-Invariant Forms for Time-Periodic Systems". Nonlinear Dynamics, 16, p. 203-221, 1998.
13. Sparis, P. D., Mouroutsos, S.G. "A Comparative Study of the Operational Matrices of Integration and Differentiation for Orthogonal Polynomial Series". International journal of control, 42(3), p 621-638, 1985.
14. Snyder, M.A. "Chebyshev Methods in Numerical Approximations". Englewood Cliffs, New Jersey, Prentice Hall, 1966.

8. APÊNDICE

Considerando

$$\phi^{(k,m)} = \hat{T}^T [\hat{I} + (\sum_{i=1}^k [L]^{i-1})P] \quad (3)$$

onde

$$\hat{T}^T(t) = \begin{bmatrix} T_o^*(t) & T_1^*(t) \dots T_{m-1}^*(t) & 0 & 0 & \dots & 0 \\ 0 & 0 & \dots & 0 & T_o^*(t) & T_1^*(t) \dots T_{m-1}^*(t) \end{bmatrix} \quad (A1)$$

$T_s^*(t)$, $s = 0, \dots, m-1$, denotam os polinômios de Chebyshev de 1º tipo, sendo dados por:

$$T_s^*(t) = T_s(2t-1) \text{ onde } T_{s+1}(t) = 2tT_s(t) - T_{s-1}(t),$$

com $T_0(t) = 1$ e $T_1(t) = t$.

$\hat{I} := I_n \otimes \underbrace{(1 \ 0 \ \dots \ 0)^T}_{(m-1)}$ é uma matriz $n \times n$ e \otimes é produto de Kronecker.

A matriz L é dada por:

$$L = \sum_{i=1}^k \bar{A}_i \otimes [G^T Q_{d_i}], \quad (A2)$$

onde G e Q_{d_i} são dados por:

$$G = \begin{bmatrix} 1/2 & 1/2 & 0 & 0 & 0 & \dots & 0 \\ -1/8 & 0 & 1/8 & 0 & 0 & \dots & 0 \\ -1/6 & -1/4 & 0 & 1/12 & 0 & \dots & 0 \\ 1/16 & 0 & -1/8 & 0 & 1/16 & \dots & 0 \\ -1/30 & 0 & 0 & -1/12 & 0 & \ddots & 0 \\ \vdots & \vdots & \vdots & \vdots & \ddots & \ddots & 1/4(m-1) \\ (-1)^m / 2m(m-2) & 0 & 0 & 0 & 0 & 1/4(m-2) & 0 \end{bmatrix}_{mxm}$$

$$Q_{d_i} = \begin{bmatrix} d_0^i & \frac{d_1^i}{2} & \frac{d_2^i}{2} & \dots & \frac{d_{m-1}^i}{2} \\ d_1^i & d_0^i + \frac{d_1^i}{2} & \frac{1}{2}(d_1^i + d_3^i) & \dots & \frac{1}{2}(d_{m-2}^i + d_m^i) \\ d_2^i & \frac{1}{2}(d_1^i + d_3^i) & d_0^i + \frac{d_4^i}{2} & \dots & \vdots \\ \vdots & \vdots & \vdots & \ddots & \vdots \\ d_{m-1}^i & \frac{1}{2}(d_{m-2}^i + d_m^i) & \dots & \dots & d_0^i + \frac{d_{2m-2}^i}{2} \end{bmatrix},$$

onde $d_i = [d_0^i \ d_1^i \ \dots \ d_{m-1}^i]^T$ pode ser calculada através:

$$d_r^i = \frac{2}{\pi} \int_0^1 \frac{f(t) T_s^*(t)}{\sqrt{t(1-t)}} dt = \frac{4}{\pi} \int_0^{\pi/2} f(\cos^2 \phi) \cos(2s\phi) d\phi.$$

Finalmente, a matriz P é obtida por: $P = \sum_{i=1}^k \bar{A}_i \otimes [G^T Q_{d_i}]$. (A3)